

生物 学

命题单位：夷陵中学生物学组

命题单位：圆创教育研究中心 襄阳市第五中学

本试卷共8页，22题。满分100分。考试用时75分钟。

2023年8月17日下午

★祝考试顺利★

注意事项：

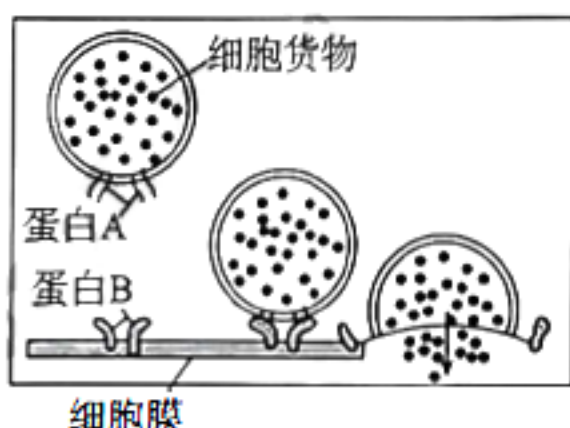
1. 答卷前，考生务必将自己的姓名、准考证号填写在答题卡上。

2. 回答选择题时，选出每小题答案后，用 2B 铅笔把答题卡上对应题目的答案标号涂黑。如需改动，用橡皮擦干净后，再选涂其他答案标号。回答非选择题时，用签字笔或钢笔将答案写在答题卡上。写在本试卷上无效。

3. 考试结束后，将试卷和答题卡一并交回。

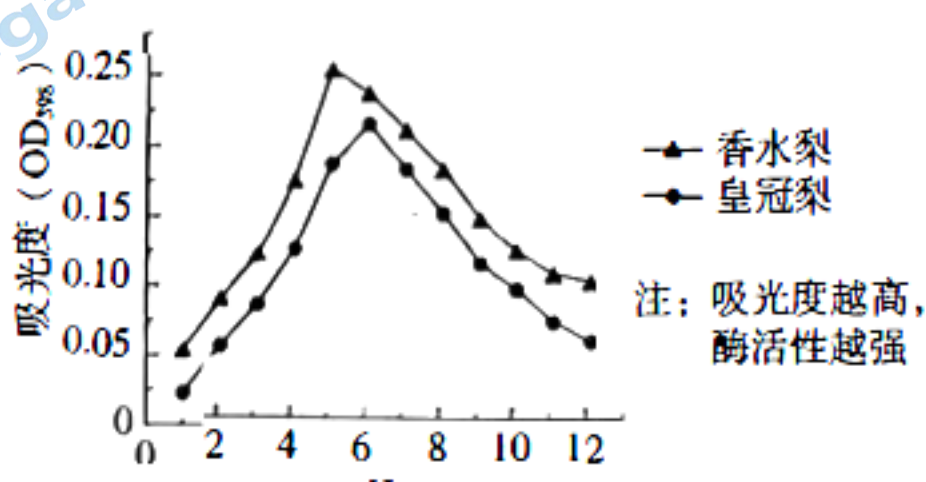
一、选择题：共 18 小题，每小题 2 分，共 36 分，每小题只有一项符合题目要求。

1. 2013 年诺贝尔生理学或医学奖授予了发现细胞内部囊泡运输调控机制的三位科学家。下图是囊泡正常运输的局部放大，囊泡运输与 S 蛋白有关，科学家发现 S 蛋白异常会使内质网形成的囊泡在细胞内大量积累，据此分析，下列说法错误的是



- A. 根据题意推测 S 蛋白可能参与囊泡与高尔基体融合
- B. 囊泡膜与细胞膜、细胞器膜和核膜等具有一定的结构相似性
- C. 若细胞货物为胰岛素，则与其加工有关的细胞器有内质网和高尔基体等
- D. 囊泡膜上的蛋白 A 和细胞膜上的蛋白 B 特异性识别体现了细胞膜的结构特点

2. 褐变往往导致果蔬的色泽加深、风味改变和营养物质流失，多酚氧化酶（PPO）是引起褐变的关键酶。科研人员以 OD 值为指标，研究了不同 pH 下，两种梨 PPO 活性变化的对比情况，实验结果如下图，下列说法正确的是



A. 本实验的自变量是 pH, 因变量是 OD 值

B. 多酚氧化酶(PPO)为褐变反应提供活化能

C. 实验结果说明, 两种梨中 PPO 的酶活性、最适 pH 不同

D. 实验过程中应将酶和底物混合后再用不同的 pH 处理

3. 毛发的形成和生长依赖于毛囊干细胞的增殖和分化。研究发现, 慢性压力会使毛囊干细胞长期保持静止状态, 肥胖则导致其易分化成皮肤表面的其他细胞。下列叙述错误的是

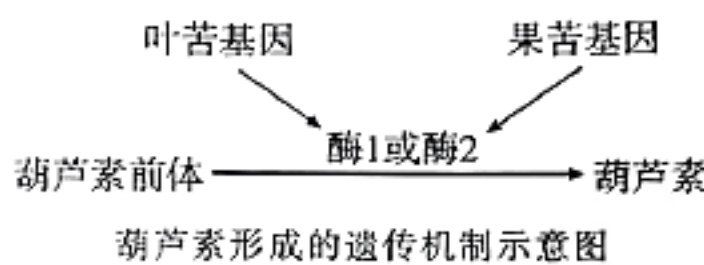
A. 保持愉悦的心情并及时排解压力有助于减少脱发

B. 毛囊干细胞与其他干细胞一样都有一定的分裂能力

C. 长期高脂肪饮食可能会使毛囊干细胞分化方向改变而使头发脱落

D. 毛囊干细胞分化的过程中细胞的形态、结构、遗传物质均发生了改变

4. 中国科学家研究发现黄瓜的苦味物质——葫芦素主要由两个“主控开关”控制合成, 叶苦与非苦由一对等位基因 A 和 a 控制, 果苦与非苦由另一对等位基因 B 和 b 控制(二者独立遗传)。现将叶和果实均苦味、叶和果实均非苦味的两品系进行杂交, 得到 F₁ 全为叶和果实均非苦味类型。进一步研究发现叶片中葫芦素能有效抵御害虫侵害, 减少农药的使用。下列有关说法错误的是



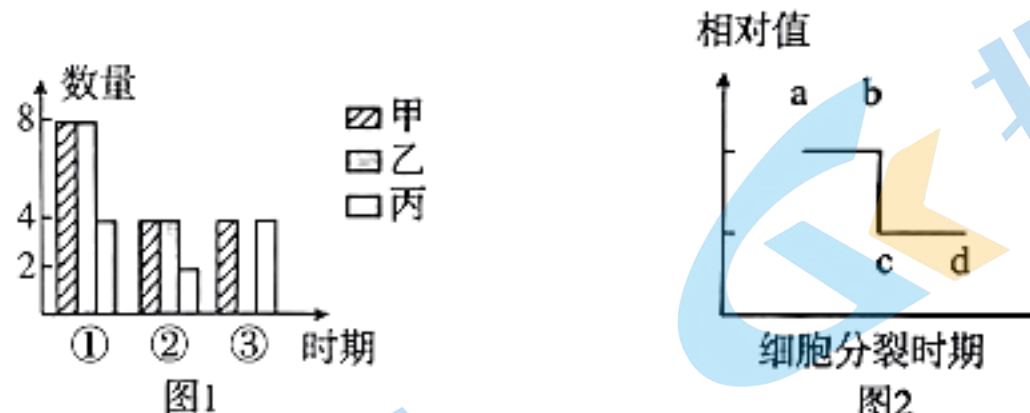
A. 亲本叶和果实均苦味、叶和果实均非苦味的基因型分别为 aabb 和 AABB

B. 将 F₁ 自交得 F₂, F₂ 中表现型为叶苦果非苦的黄瓜中纯合子所占比例为 1/3

C. 将 F₁ 植株进行花药离体培养即可快速获得稳定遗传的所需植株

D. 依据题意, 表现型为叶苦果非苦的黄瓜可作为育种工作者首选

5. 下图 1 是其减数分裂过程中不同时期细胞中 DNA、染色单体与染色体的数量关系, 图 2 为某高等动物减数分裂过程中物质相对含量的变化示意图。下列有关说法正确的是



A. 图 1 中甲、乙、丙分别代表染色体、染色单体、DNA

B. 若图 2 纵坐标表示染色体/DNA 的比值, 则图 1 所示②时期处于图 2 中 cd 段

C. 若图 2 纵坐标表示细胞中染色体含量的相对值, 则图 2 的 ab 段一定会发生基因重组

D. 若图 2 纵坐标表示细胞中 DNA 含量的相对值, 则处于 cd 段的细胞中有姐妹染色单体

6. 真核细胞 DNA 的复制是一个复杂的过程, 其边解旋边复制时会形成独特的 DNA 复制泡结构, 该过程需要多种酶的参与。下列有关叙述错误的是

A. DNA 聚合酶不能起始独立合成新的 DNA 链

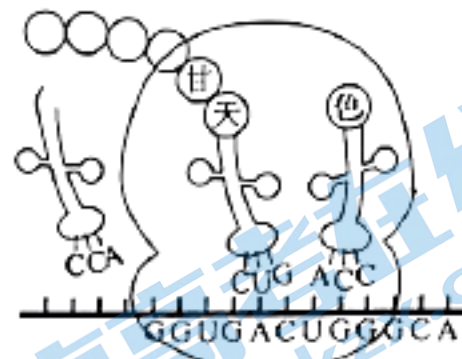
B. DNA 聚合酶催化脱氧核苷酸基团加到延伸中的 DNA 链的-OH 末端

C. 一条 DNA 复制时会形成多个复制泡说明 DNA 复制是多起点复制

D. 在每个 DNA 复制泡中 DNA 复制都需要解旋酶和 DNA 聚合酶各一个

7. 右图为某细菌翻译的过程,下列有关叙述正确的是

- A. 色氨酸的反密码子为 5' ACC3'
- B. 细菌中 mRNA 合成结束后再与核糖体结合开始翻译
- C. tRNA 在核糖体上位点的转移是通过 mRNA 的移动来实现
- D. 正常情况下图中的六肽会与色氨酸连接并移动到右侧 tRNA 上



8. 水稻育种有两次绿色革命,一次是高秆变矮秆,一次是常规稻变杂交稻。两次绿色革命,都使水稻产量有了大幅度提高。多倍体水稻同样具有大幅度提高产量的潜力,一旦成功,可以说是水稻育种的第三次绿色革命。下列相关叙述错误的是

- A. 高秆变矮秆的原理是基因突变
- B. 杂交稻的原理是基因重组可产生新的性状
- C. 多倍体水稻谷粒更大,茎秆也更加粗壮,营养含量更高
- D. 一般来说,通过杂交获得纯合四倍体品种比纯合二倍体品种所需时间更长

9. 某些寄生者的 DNA 可以剪切并黏贴到宿主基因组任何位置,寄生者与宿主之间的斗争是推动进化的最强动力之一。下列有关叙述不合理的是

- A. 寄生者和宿主之间存在生殖隔离
- B. 寄生者的寄生可以使宿主产生基因突变
- C. 寄生者的寄生可以减缓宿主的进化
- D. 寄生者对宿主种群的影响属于密度制约因素

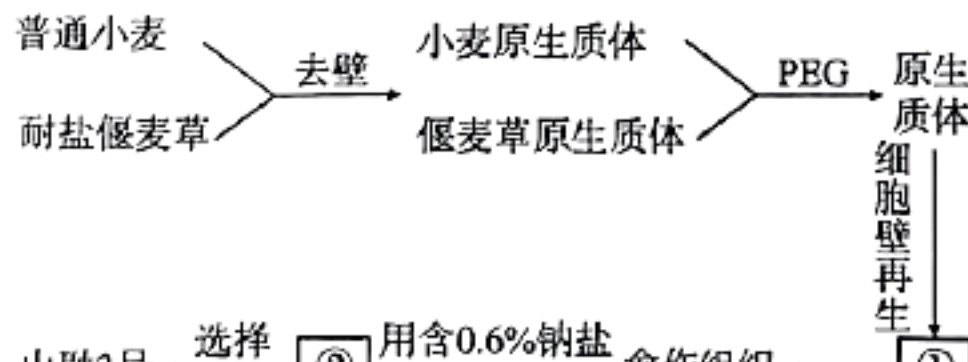
10. 黄瓜为雌雄同株植物,性别受基因表达、环境和激素等多种因素的调控。长日照、高温条件能促进黄瓜雄花产生,而短日照、低温条件能促进雌花形成。生长素和乙烯可促进黄瓜雌花的分化,赤霉素可促进黄瓜雄花分化。下列叙述错误的是

- A. 黄瓜植株上花的性别与性染色体无关,与雌花和雄花中 mRNA 的差异有关
- B. 长日照和短日照影响黄瓜花的性别可能与光敏色素的空间结构发生变化有关
- C. 为提高产量,可施加乙烯利提高黄瓜雌花的比例,使其多开雌花
- D. 赤霉素只能由植物细胞合成分泌

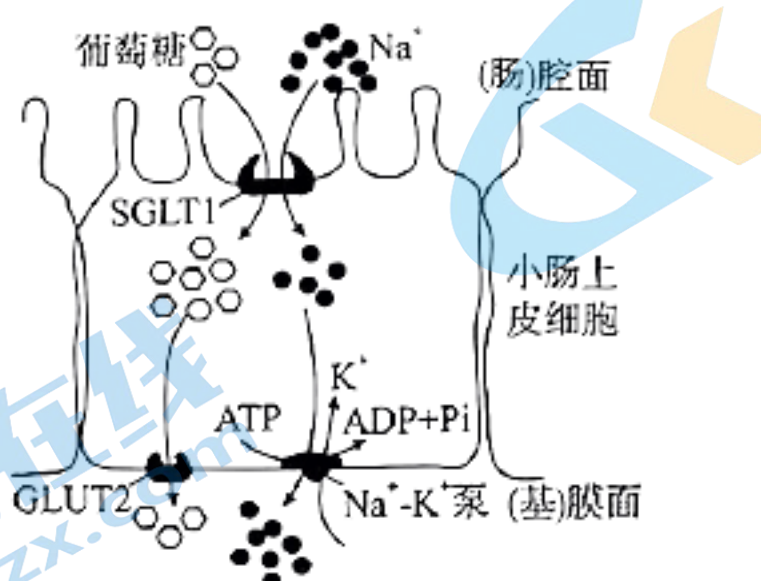
11. 以农家乐为主题的生态农业是现代农业的一种新模式,如建立“藕—鱼—鳅”共同混养的人工鱼塘。下列叙述正确的是

- A. 合理增加鱼塘中生物的种类可以提高其抵抗力稳定性
- B. 鱼粪和鳅粪肥田可以实现能量的多级利用,提高能量的利用率
- C. 泥鳅以鱼的粪便为食时泥鳅为分解者,以植物碎屑为食时泥鳅为次级消费者
- D. “藕—鱼—鳅”共养模式中鳅粪肥田可以有效地降低污染,合理利用了生态工程协调原理

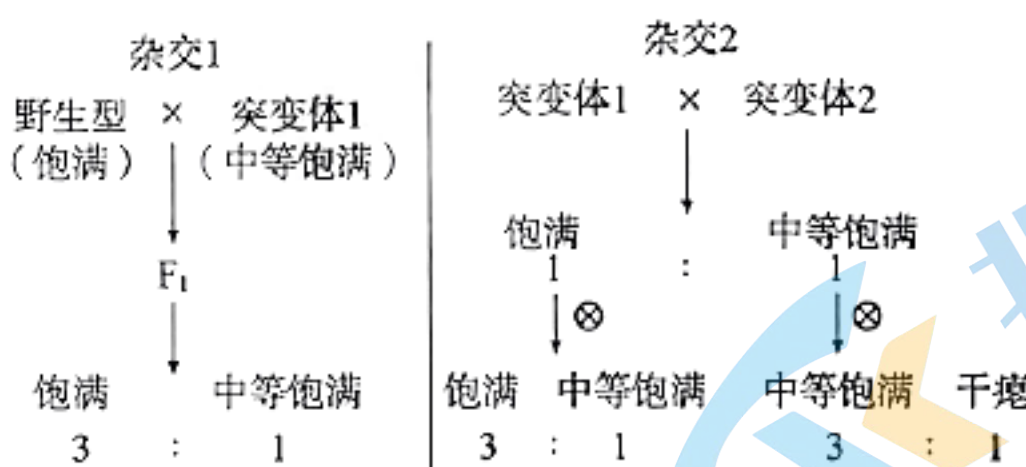
12. 土壤盐渍化是目前制约农业生产的全球性问题,我国科学家用普通小麦($2N=42$)与耐盐偃麦草($2N=70$)体细胞杂交获得耐盐新品种“山融 3 号”,培育过程如下图所示,序号代表过程或结构。下列分析正确的是



- A. 由愈伤组织到②适当提高培养基中生长素/细胞分裂素的比例有利于促进芽的形成
 B. ①和“山融 3 号”体细胞均含有两个染色体组, 每个染色体组含 56 条染色体
 C. “山融 3 号”与普通小麦之间存在生殖隔离, 为不同物种
 D. 土壤盐渍化可能是导致偃麦草出现耐盐性的根本原因
13. 如图所示为小肠上皮细胞, 其中 SGLT1、GLUT2、 $\text{Na}^+ - \text{K}^+$ 泵都是细胞膜上的蛋白质。小肠上皮细胞面向肠腔一侧的细胞膜突起形成微绒毛。下列说法错误的是



- A. 葡萄糖依靠 SGLT1 蛋白进入细胞时, 需要消耗能量
 B. 细胞膜上的 $\text{Na}^+ - \text{K}^+$ 泵具有降低化学反应活化能的作用
 C. 核糖体、线粒体等细胞器功能受损会影响细胞膜上 GLUT2 的数量
 D. 葡萄糖从小肠上皮细胞进入内环境和 K^+ 由内环境进入小肠上皮细胞的运输方式相同
14. 玉米籽粒其饱满程度由大到小有饱满、中度饱满、干瘪等性状, 研究发现玉米籽粒的饱满程度由位于同源染色体相同位置的 3 个基因(S, S_1, S_2)决定, 科研人员分别利用野生型、突变体 1、突变体 2 进行研究, 实验步骤及结果如图所示。经测定突变体 1 基因型为 S_1S_1 , 干瘪个体基因型为 S_2S_2 , 下列分析合理的是



- A. 该玉米种群中相应的基因型有 7 种
 B. S, S_1, S_2 体现了基因突变具有随机性
 C. S, S_1, S_2 之间的显隐性关系是 $S > S_1 > S_2$
 D. 上述杂交实验说明控制籽粒饱满程度的基因遵循自由组合定律

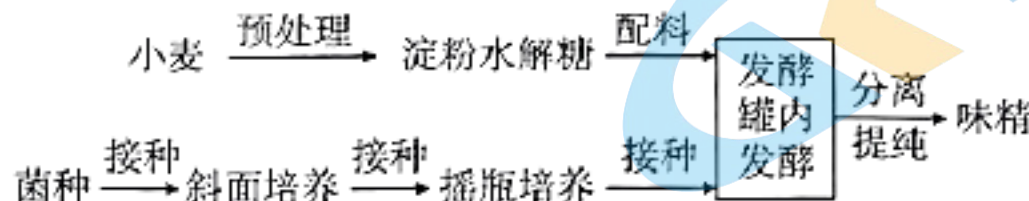
15. 剧烈运动可能导致肌肉酸痛、头晕等疲劳症状。研究发现疲劳的发生跟神经肌肉接头处的代谢有关。某研究团队用大鼠的左、右腿分别代表疲劳腿和兴奋腿, 用电持续刺激左腿坐骨神经—腓肠肌的样品直到疲劳状态, 测定腓肠肌神经肌肉接头处, 求得相关平均值, 结果如下表所示。下列叙述错误的是

样品	乳酸浓度($\mu\text{g}/\text{ml}$)	乙酰胆碱浓度($\mu\text{g}/\text{ml}$)	乙酰胆碱酯酶浓度($\mu\text{g}/\text{ml}$)
左腿样品	0.506	0.784	0.430
右腿样品	0.421	0.364	0.430

注: 乳酸光密度值(该值越大代表乳酸浓度越高)

- A. 对右腿的处理是进行适当的电刺激
 B. 上述实验中肌细胞膜上出现了钠离子内流
 C. 产生乳酸的呼吸方式不能产能,导致出现头晕等症状
 D. 根据结果推测:可能由于乙酰胆碱酯酶的活性降低导致乙酰胆碱浓度升高

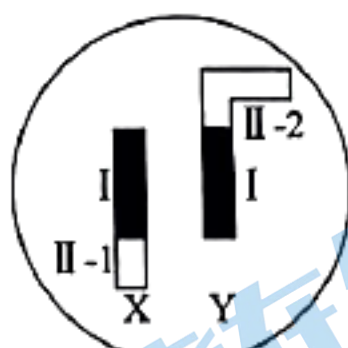
16. 味精是以粮食等为原料经发酵制成的一种调味料,发酵中所用的谷氨酸棒状杆菌菌种大都从自然界筛选获得,下图是以小麦为原料生产味精的工艺流程图。下列分析正确的是



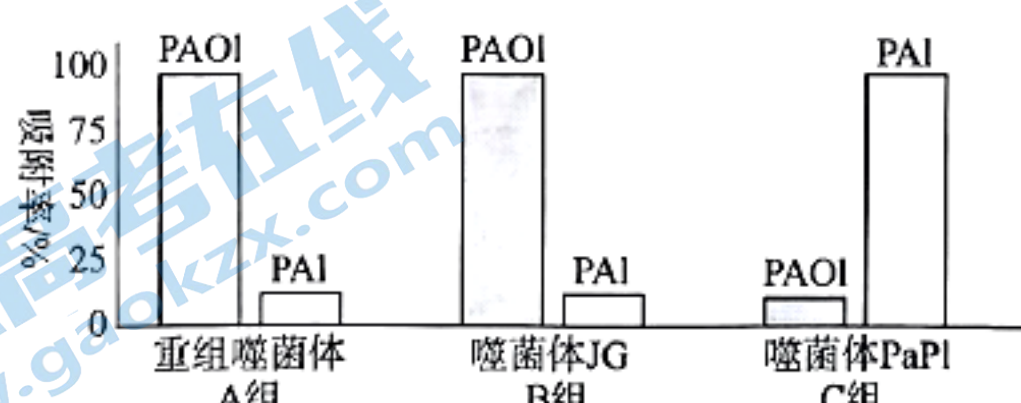
- A. 发酵前将菌种接种到摇瓶培养是为了进一步选育和纯化菌种
 B. 发酵前调整好温度、pH 等条件,发酵过程中需关闭发酵罐通气阀门,同时需不断搅拌
 C. 通过基因工程育种可以对谷氨酸棒状杆菌进行定向改造,以获取性状优良的菌种
 D. 发酵结束后,可采用过滤、沉淀和纯化等方法获取单一菌体,并将菌体破碎后提取单细胞蛋白

17. 下图为果蝇的 X 染色体和 Y 染色体示意图,图中 I 片段为同源部分,II-1、II-2 片段为非同源部分。下列有关叙述中,错误的是

- A. I 片段上某基因控制的性状,子代性状表现与性别无关
 B. 位于性染色体上的基因,其控制的性状与性别的形成不一定有关系
 C. 若控制某一性状的基因位于 I 区段时,雄果蝇群体中相关基因型可以有 4 种
 D. 若判断某对基因是位于 II-1 还是常染色体上,可选择雌性隐性 × 雄性显性进行杂交试验



18. 铜绿假单胞菌可寄生在人皮肤等部位,研究人员欲利用噬菌体和宿主铜绿假单胞菌的相互作用,来达到杀灭铜绿假单胞菌的目的。研究人员将噬菌体 PaP1 的 DNA 和噬菌体 JG 的蛋白质外壳重组成重组噬菌体,重组噬菌体、噬菌体 JG 和噬菌体 PaP1 对不同类型(PA1、PAO1)的铜绿假单胞菌的吸附率如图所示,下列分析错误的是



- A. 噬菌体 JG 对铜绿假单胞菌 PAO1 的杀灭效果较好
 B. 噬菌体对铜绿假单胞菌的吸附主要与蛋白质外壳有关
 C. 重组噬菌体繁殖产生的子代噬菌体,主要侵染铜绿假单胞菌 PA1
 D. 铜绿假单胞菌和噬菌体均利用宿主的核糖体合成自身的蛋白质

二、非选择题：本题共 4 小题，共 64 分。

19. (14 分) 水稻是我国重要的粮食作物。研究人员为研究土壤的干旱程度对植物光合作用影响的机制，以某水稻品种为材料在自然干旱的条件下进行实验，结果如图 1 所示，回答下列问题：

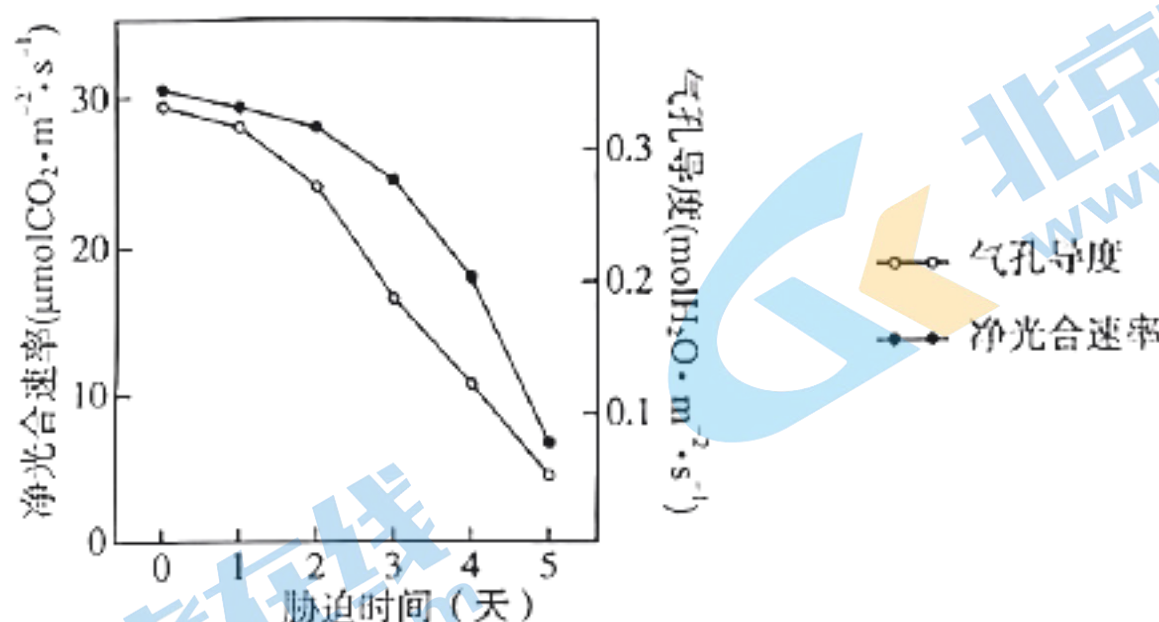


图1

(1) 实验期间，各组 _____ (答出两点即可) 等实验条件应保持一致。实验操作中会重复处理多组，目的是 _____。

(2) 根据图示，在干旱胁迫下，随着胁迫时间的延长，水稻植株的气孔的变化有利于 _____，从而响应干旱胁迫。研究发现，干旱严重时，细胞内水分亏损还会导致叶绿体超微结构破坏，使得类囊体薄膜上的 _____ 减少，从而直接影响光反应。

(3) 为研究干旱对水稻耐热性的影响，科学家将相同的水稻种子分别置于正常条件(CK)，单一高温条件(H)和干旱—高温交叉条件(DH，先干旱后高温)下萌发，测定其幼苗叶片的叶绿素含量、净光合速率和气孔导度，结果如图 2 所示：

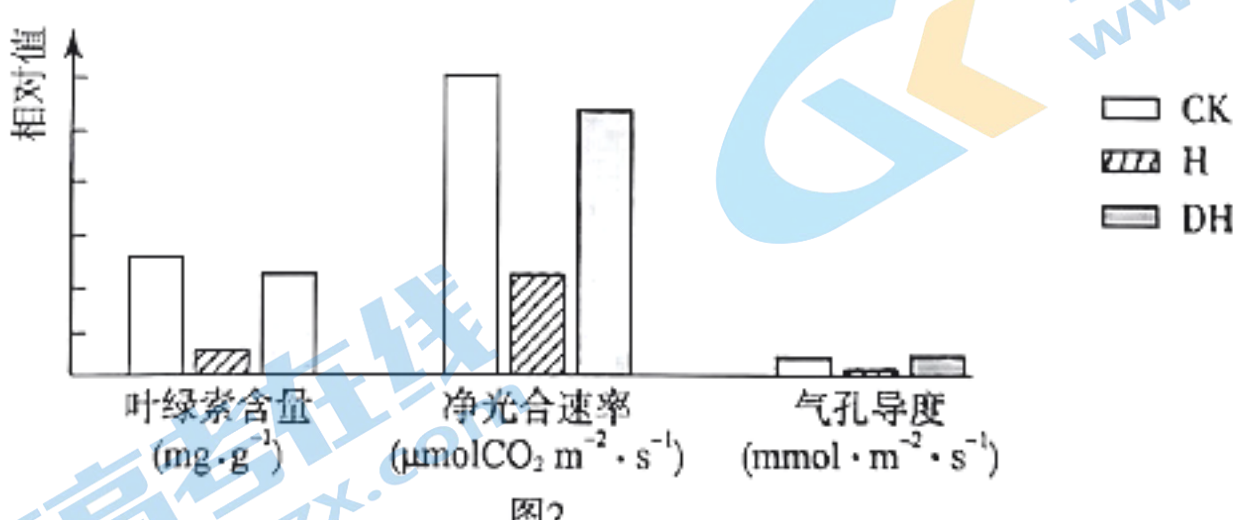


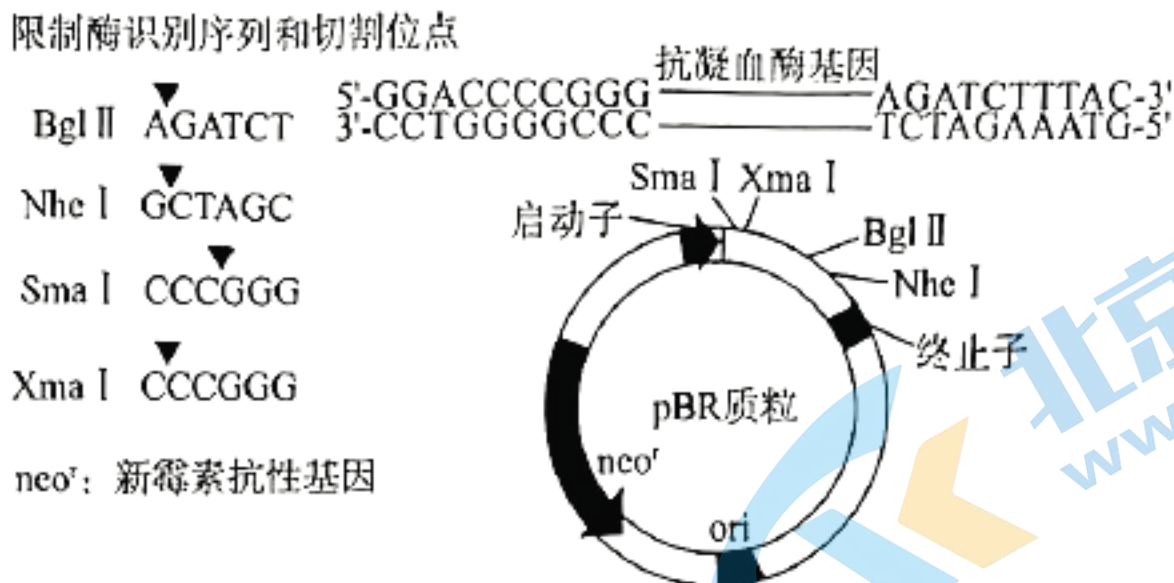
图2

依据图 2 中的结果，结合光合作用原理分析，导致 H 组净光合速率显著降低的原因是 _____。DH 组净光合速率降低不显著，推测对水稻进行适度的干旱预处理，_____ (填“有利于”或“不利于”) 提高水稻的耐热性。

20. (16 分) 抗凝血酶是一种天然抗凝血剂，在临幊上被广泛应用。目前科学家已在猪和羊等动物的乳腺

关准生物京腐器中表达出了微小的抗凝血酶，下图是构建抗凝血酶基因表达载体所用的 pBR 质粒的结构及分析信

人抗凝血酶基因所在的 DNA 片段,回答下列问题:



(1)现有以下 4 种引物,引物 A: 5'—GGACCCCGGG—3';引物 B: 5'—CATTTCTAGA—3';引物 C: 5'—CCTGGGGCCC—3';引物 D: 5'—GTAAAGATCT—3'。利用 PCR 扩增获取抗凝血酶基因,应选用引物 _____(填引物名称),扩增产物可选择限制酶 _____ 切割后再利用 E·coliDNA 连接酶连接到 pBR 质粒上。

(2)所选用的 pBR 质粒上含有启动子,其作用是 _____,将构建的基因表达载体先导入大肠杆菌细胞,然后将大肠杆菌涂布到含新霉素的选择培养基上,长出了多个大肠杆菌菌落,这些菌落并非都是目的菌株,原因是 _____。

(3)将筛选得到的目的菌株提取质粒,再通过 _____ 方法导入到猪或羊的 _____ 细胞内,通过培养即可获得能表达人抗凝血酶的乳腺生物反应器。

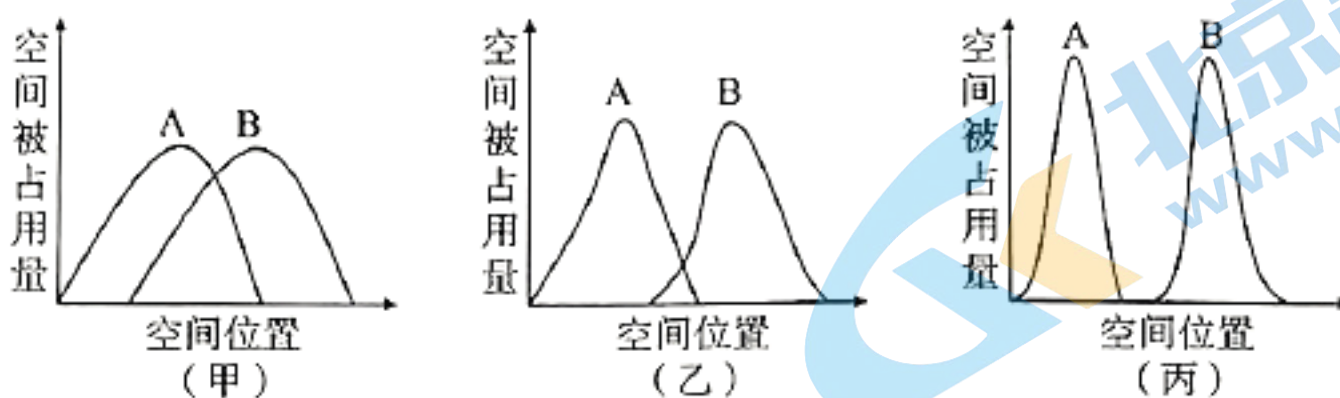
21. (16 分)库布其沙漠原本是一片草原。由于人类过度放牧和滥砍滥伐,加上自然因素,库布其逐渐演变为一片荒凉的沙漠。上世纪 80 年代初开始,人们对库布其沙漠进行了生态修复,种植了大量沙漠植物,如枸杞、羊草、胡杨树、沙柳和榆树等。经过几代人的努力,如今库布其沙漠已从不毛之地变成了生态繁荣的绿洲。回答下列问题:

(1)治理后的库布其沙漠生态系统的结构包括 _____,对当地胡杨树的种群密度进行调查,取样时除注意随机取样外,还应考虑 _____。

(2)对库布其沙漠进行生态修复时,选择了耐寒耐旱的枸杞、羊草、胡杨树、沙柳等,这遵循了生态工程 _____ 原理,在胡杨林下种植羊草,除了提高生物多样性外,还可以 _____(答两点即可)。

(3)在对库布其沙漠进行生态修复过程中,最初种植的人工林需不断地人工维持和管理,从生态系统

(4)生态位是指一个物种在群落中的地位或作用,包括所处的空间位置、占用资源情况以及与其他物种的关系等。甲、乙、丙是A、B两个物种对空间资源利用的三种类型,科研人员随机调查了库布其地区两物种对空间资源利用情况,结果发现乙类型最常见,从生态位的角度分析,其原因是_____。



22.(18分)秋冬季节降温时正常机体会通过相应的调节作用,维持体温平衡。同时没有及时增加衣物就很容易感冒,图1表示某人感染流感病毒后体温上升一段时间的部分生理过程。

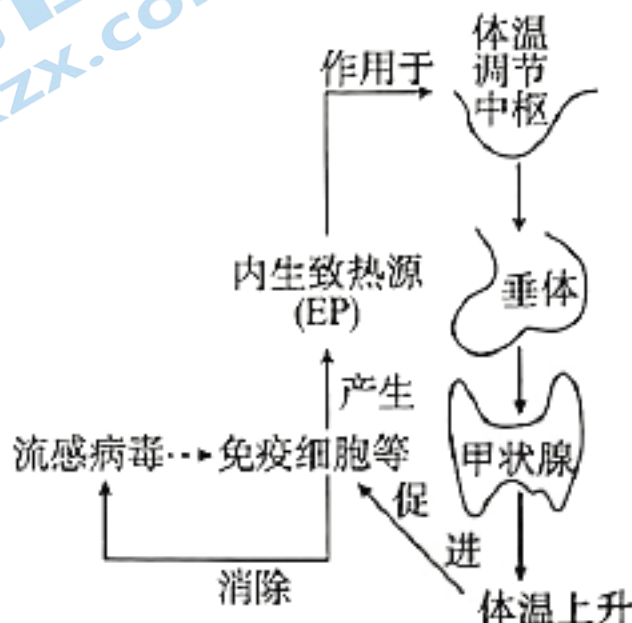


图1

回答下列问题:

(1)降温时及时增加衣物属于_____ (填“行为性”或“生理性”)调节方式。研究表明老年人皮肤毛细血管弹性降低,据此推测,寒冷刺激下老年人体温下降较快的原因之一可能是_____。

(2)流感病毒侵入后,一定程度的发热对人体抗病毒有积极作用。据图1分析,该过程的调节机制是_____ (填“正反馈”或“负反馈”),判断的依据是_____。

(3)图2是体温调节过程中有关下丘脑的部分神经元的连接示意图,神经元A和B均为兴奋性神经元。已知M和N为两个实验位点,在不考虑神经元C的情况下,利用电表来验证兴奋在②处进行单向传递,请简要写出实验设计思路并预期实验结果:_____。



图2

(4)神经中枢中一个神经元能与其他多个神经元发生突触联系,以有效控制兴奋的传导。若神经元C为兴奋性神经元,在N处给一个适宜的刺激,则①处的兴奋时间会_____.若神经元C为抑制性神经元,在N处给一个适宜的刺激,则①处发生的变化是_____。

生物学试题参考答案与评分细则

一、单项选择题:本题含 20 小题,每小题 2 分,共 40 分。

题号	1	2	3	4	5	6	7	8	9	10
答案	D	C	D	C	B	D	D	B	C	D
题号	11	12	13	14	15	16	17	18		
答案	A	C	D	C	C	C	A	D		

1. D 【解析】A. 科学家发现 S 蛋白异常会使内质网形成的囊泡在细胞内大量积累,说明内质网形成的囊泡不能与高尔基体融合,据此推测 S 蛋白的功能可能是参与内质网囊泡与高尔基体的融合。A 正确。B. 囊泡膜、细胞膜、核膜、细胞器膜都是生物膜,它们具有一定的结构相似性,B 正确。C. 分泌蛋白的加工与内质网、高尔基体有关,C 正确。D. 囊泡上的蛋白质 A 与细胞膜上的蛋白质 B 特异性结合,此过程说明了细胞膜具有控制物质进出细胞的功能和信息交流的功能。D 错误。
2. C 【解析】A. 本实验的自变量为 pH 和梨的品种,因变量为 OD 值。A 错误。B. 酶能降低化学反应的活化能,但不能为酶促反应提供能量,B 错误。C. 如图所示,香水梨、皇冠梨中 PPO 的酶活性、最适 pH 不同 C 正确。D. 该实验应该将酶和底物先放在不同的 pH 条件下一段时间,再将相同 pH 下的酶和底物混合,因为酶具有高效性,若先将酶和底物混合,反应已经进行。D 错误。
3. D 【解析】A. 分析题意可知,长期处于慢性压力会使毛囊干细胞保持静止状态,不会发生分裂分化毛发再生减少且易脱落,故保持愉悦的心情并及时排解压力,可减少脱发,A 正确;B. 毛囊干细胞与其他干细胞一样都有一定的分裂能力,B 正确;C. 根据题干信息:肥胖可通过激活某些信号改变毛囊干细胞的分化方向,使其分化成皮肤表面的其他细胞,而不是头发生长所必需的毛囊,由此判断高脂肪饮食或遗传导致的肥胖可能会因毛囊干细胞分化方向改变而使头发脱落,C 正确;D. 细胞分化不改变细胞内的遗传物质,D 错误。
4. C 【解析】A. 分析题意, F_1 全为叶和果实非苦味类型,说明叶和果实非苦都是显性性状,则 A_B 表现型为叶和果实非苦味、 A_bb 表现型为叶非苦和果实苦、 aaB 表现型为叶苦和果实非苦, $aabb$ 表现型为表现型为叶苦和果实苦,且亲本基因型为 $AABB$ 、 $aabb$ 。A 正确;B. 利用杂交育种培育该品种黄瓜时,应该让获得的子一代($AaBb$)自交,则子二代中表现型符合要求的个体为 aaB ,其中 $aaBB$ 占 $1/3$, $aaBb$ 占 $2/3$,即其中纯合子占 $1/3$ 。B 正确;C. 将 F_1 植株进行花药离体培养然后用秋水仙素加倍才可快速获得稳定遗传的所需植株,C 错误;D. 由于提高叶片中葫芦素的含量能有效抵御害虫侵害,减少农药的使用,而我们食用的黄瓜果实,因此作为育种工作者,应该选育表现型为叶苦果非苦的黄瓜,D 正确。

5. B 【解析】A. 图 1 中 a、b、c 分别代表 DNA、染色单体、染色体。A 错误;B. 若图 2 纵坐标表示染色体/DNA 的比值,则图 1 所示②时期处于图 2 中 cd 段。B 正确;C. 若图 2 纵坐标表示细胞中染色体含量的相对值,则基因重组可能发生在图 2 的 ab 段,因为 ab 段可代表减 I 前期,也可代表减 II 后期。C 错误;D. 若图 2 纵坐标表示细胞中 DNA 含量的相对值,若 cd 段处于减数第二次分裂结束,此时的细胞中无姐妹染色单体;D 错误。
6. D 【解析】DNA 聚合酶要从引物的 3' 端开始连接脱氧核苷酸,催化 dNTP 加到延伸中的 DNA 链的 3' 端即—OH 末端,所以不能起始合成新的 DNA 链,B 正确,A 正确;由于形成多个复制泡说明 DNA 复制为多起点复制,C 正确;DNA 复制为双向复制,所以解旋酶、DNA 聚合酶各需要不止一个,D 错误。故选 D。
7. D 【解析】由于色氨酸的密码子为 5' UGG3', 故反密码子为 5' CCA3', A 错误; 敏感细菌是原核生物, 转录和翻译同时进行,B 错误;tRNA 分子在核糖体上位点的转移是通过核糖体的移动来实现,C 错误; 正常情况下图中的六肽会与色氨酸连接并移动到右侧 tRNA 上,D 正确。故选 D。
8. B 【解析】高秆变矮秆是基因突变产生的新性状,A 正确; 杂交稻的原理是基因重组可产生新的性状组合, 基因突变产生新的性状,B 错误; 基于四倍体水稻具有比二倍体成倍增加的基因组, 包含着成倍增加的基因数, 并且在每一个基因位点上具有 4 个相对性状基因。基因表达的总量增多, 故多倍体水稻谷粒更大, 茎秆也更加粗壮, 蛋白质、氨基酸等营养成分都比普通二倍体水稻的更高,C 正确; 从遗传学分析看, 4 个等位基因涉及到配对、交换、分离之后全部纯合的过程, 这比二倍体复杂得多, 获得纯合稳定的品种, 所需时间可能要更长。D 正确。故选 B。
9. C 【解析】寄生虫和宿主属于不同的物种, 存在生殖隔离,A 正确; 寄生者的 DNA 可以剪切并黏贴到宿主基因组任何位置, 从而使宿主产生基因突变, 提供进化原材料, 加快宿主的进化,B 正确,C 错误; 食物和天敌等生物因素对种群数量的作用强度与该种群密度相关, 称为密度制约因素。D 正确。故选 C。
10. D 【解析】A. 黄瓜为雌雄同株, 没有性染色体与常染色体之分, 雌花和雄花之分是基因选择性表达的结果, 因此雌花和雄花中 mRNA 存在差异,A 正确; B. 日照长和短影响黄瓜花的性别, 可能与光敏色素感光后空间结构发生变化有关,B 正确; C. 乙烯可促进黄瓜雌花的分化, 因此施加乙烯利可提高黄瓜雌花的比例, 使其多开雌花,C 正确; D. 赤霉菌也可以产赤霉素,D 错误。
11. A 【解析】A. 增加鱼塘中生物的种类, 可以增加生态系统的组成成分, 使营养结构更复杂, 提高其抵抗力稳定性,A 正确; B. 鱼粪和鳅粪肥田植物只能利用无机盐, 不能实现能量的多级利用和提高能量的利用率,B 错误; C. 泥鳅以鱼的粪便以及植物碎屑为食时泥鳅均为分解者,C 错误; D. 鳅粪肥田利用了生态工程循环原理,D 错误。

12. C 【解析】A. 由愈伤组织到②应适当降低培养基中生长素/细胞分裂素的比例,促进芽的形成,A 错误;B. ①和“山融 3 号”体细胞均含有四个染色体组(异源四倍体),一个染色体组含 21 或 35 条染色体,B 错误;C. “山融 3 号”与普通小麦之间存在生殖隔离,为不同物种,C 正确;D. 土壤盐渍化只能对偃麦草耐盐性进行选择,偃麦草出现耐盐性的根本原因是变异,D 错误。

13. D 【解析】A. 葡萄糖依靠 Na^+ 驱动的葡萄糖同向转运载体进入细胞时,需要细胞膜外有高浓度的 Na^+ ,该过程需要消耗 Na^+ 的化学势能,A 正确;B. $\text{Na}^+ - \text{K}^+$ 泵也是 ATP 水解酶,酶能降低某些化学反应活化能的作用,B 正确;C. GLUT2 是细胞膜上的蛋白质,其合成过程与核糖体、线粒体有关,因此核糖体、线粒体等细胞器功能受损会影响细胞膜上 GLUT2 的数量。C 正确 D. 葡萄糖从小肠上皮细胞进入内环境是协助扩散, K^+ 由内环境进入小肠上皮细胞需要载体蛋白、消耗 ATP,是主动运输方式,D 错误。

14. C 【解析】该玉米种群中相应的基因型有 6 种:SS、 S_1S_1 、 S_2S_2 、 SS_1 、 SS_2 、 S_1S_2 ,A 错误;一个基因可以向不同的方向发生突变,产生一个以上的等位基因,体现了基因突变的不定向性,因此同源染色体相同位置的 3 个基因(S 、 S_1 、 S_2)体现了基因突变的不定向性,B 错误;突变体 1 为中等饱满,基因型为 S_1S_1 ,干瘪个体基因型为 S_2S_2 ,据此可知, S_1 决定中等饱满, S_2 决定干瘪,因此 S 决定饱满,根据杂交 2 可知,饱满的后代出现中等饱满,说明 S 对 S_1 显性,中等饱满的后代出现干瘪,说明 S_1 对 S_2 显性,因此 S 、 S_1 、 S_2 之间的显隐性关系是 S 对 S_1 为显性, S_1 对 S_2 为显性($S > S_1 > S_2$),C 正确;复等位基因位于染色体同一位置,遵循分离定律,D 错误。故选 C。

15. C 【解析】右腿代表兴奋腿,所以对右腿的处理是进行适当的电刺激,A 正确;当神经递质与受体结合时,会引起钠离子内流,产生动作电位,进而引起肌肉兴奋,B 正确;产生乳酸的呼吸方式产能不足,而不是不能产能,C 错误;根据结果推测:乳酸堆积导致乙酰胆碱酯酶的活性降低从而导致乙酰胆碱浓度升高,D 正确。故选 C。

16. C 【解析】A. 发酵前将菌种接种到摇瓶培养是为了扩大培养,获取更多菌种,A 错误;B. 发酵过程中需打开发酵罐通气阀门,同时需不断搅拌,B 错误;C. 基因工程育种可以对谷氨酸棒状杆菌进行定向改造,获取性状优良的菌种,C 正确;D. 单细胞蛋白就是微生物菌体,无需将菌体破碎后提取,D 错误。

17. A 【解析】A. 当父本Ⅱ片段上基因不同时,所控制的性状在子代中表现型会有性别的差异,A 错误;B. X、Y 是性染色体,其上有决定性别相关的基因,但不是所有基因都与性别决定有关,因此位于 XY 染色体上的基因,其控制的性状不都与性别有关,B 正确;C. 假设该对等位基因(N/n)位于 X 和 Y 染色体的同源区段时,雄果蝇群体中基因型有 $X^N Y^N$ 、 $X^n Y^N$ 、 $X^N Y^n$ 和 $X^n Y^n$ 4 种,C 正确;D. 若判断某对基因是位于Ⅱ-1 还是常染色体上,可选择雌性隐性×雄性显性进行杂交试验,若位于常染色体上,则子代性状与性别无关,若位于 X 染色体上,则子代雌性为显性,雄性为隐性。D 正确。

18.D 【解析】分析题图,噬菌体 JG 对 PAO1 铜绿假单胞菌的吸附率高,噬菌体 PaP1 对 PA1 铜绿假单胞菌的吸附率高,所以噬菌体 JG 主要侵染铜绿假单胞菌 PAO1,噬菌体 PaP1 主要侵染铜绿假单胞菌 PA1,A 正确;通过比较 A、B、C 三组的实验结果可知,重组噬菌体对铜绿假单胞菌的吸附率高,与噬菌体 JG 相似,重组噬菌体由噬菌体 PaP1 的 DNA 和噬菌体 JG 的蛋白质外壳组成,所以噬菌体对铜绿假单胞菌的吸附主要取决于其蛋白质外壳,B 正确;重组噬菌体由噬菌体 PaP1 的 DNA 和噬菌体 JG 的蛋白质外壳组成,所以重组噬菌体繁殖产生的子代噬菌体为噬菌体 PaP1,因此子代噬菌体主要侵染铜绿假单胞菌 PA1。C 正确;铜绿假单胞菌利用自身的核糖体合成蛋白质,D 错误。故选 D。

二、非选择题:本题共 4 小题,共 64 分。

19.(14 分,除说明外,每空 2 分)

- (1) 光照强度、光照时间、CO₂ 浓度(合理即可,少答不给分) 减小实验误差,增加实验结果的可靠性
- (2) 减少水分的散失 光合色素(和酶)等
- (3) 叶绿素含量下降,光反应速率下降;气孔关闭,二氧化碳吸收不足,导致暗反应下降(3 分) 有利于(3 分)

【解析】(1)由题干可知,本实验目的是研究干旱胁迫对植物光合作用的影响,干旱胁迫天数本实验的自变量。实验的无关变量应保持一致,如光照强度、光照时间、CO₂ 浓度等。为了遵循实验设计的平行重复原则,减小实验误差和偶然性因素对实验结果的影响,增加实验结果的可靠性,每个组别都要进行多次重复处理。

(2) 分别检测不同时间水稻叶片的气孔导度,发现随着土壤相对含水量降低,气孔导度变小,可以减少水分的蒸发,响应干旱胁迫。光反应过程需要色素和酶的参与,色素和酶分布在叶绿体的类囊体薄膜上。因此干旱严重时,细胞内水分亏损还会导致叶绿体超微结构破坏,使得类囊体薄膜上的光合色素(和酶)减少,从而直接影响光反应。

(3) H 组叶绿素含量最低,叶绿素具有吸收、传递、转化光能的作用,光反应速率降低,光合速率降低。同时高温导致气孔关闭,影响了暗反应速率。分析表格数据可知,用干旱一高温交叉条件处理时水稻的叶绿素含量及净光合速率、气孔导度下降幅度较 H 组均较小,说明经干旱处理的水稻对高温环境有了一定的耐受性。

20.(16 分,除说明外,每空 2 分)

- (1) A 和 D Xma I 和 Bgl II
- (2) RNA 聚合酶识别和结合的部位,驱动基因转录(4 分) 导入不含目的基因(空载)的质粒的大肠杆菌也可以在这种培养基上生长(4 分)
- (3) 显微注射 受精卵

【解析】(1)根据图中信息可知,结合碱基互补配对原则,可以判断引物 A、D 可以扩增抗凝血酶基因。要将扩增产物连接到 PBR 质粒,需用限制酶 Xma I 和 BgI II 切割目的基因和质粒。

(2)启动子的作用是 RNA 聚合酶识别和结合的部位,驱动基因的转录。能在含新霉素的培养基上生长的菌株有两种,一种是导入重组质粒的,另一种空载质粒。

(3)动物基因工程的受体细胞通常是受精卵,将目的基因导入动物受精卵常用显微注射法。

21.(16 分,除说明外,每空 2 分)

(1)生态系统的组成成分和营养结构 样方的大小和数量

(2)协调(和自生) 充分利用空间资源,充分利用光能(合理即可,每点 1 分,共 2 分)

(3)最初的人工林生物组分较少,营养结构简单(2 分),自我调节能力较弱,抵抗力稳定性较低(2 分)

(4)相对甲类型而言,乙类型有利于减少种间竞争;相对丙类型而言,乙类型有利于减少种内竞争,因此乙类型最常见。

【解析】(1)生态系统的结构包括组成成分和营养结构,用样方法调查植物种群密度时,要考虑样方的大小和数量。

(2)选择与环境相适应的耐旱、耐寒植物进行生态修复,遵循的是协调和自生原理。在胡杨林下种植羊草,能充分利用空间资源,充分利用光能。

(3)最初人工林地需不断地人工管理是因为最初人工林组分较少,营养结构简单,自我调节能力较弱,抵抗力稳定性较低。

(4)比较甲、乙、丙三种类型,可以发现甲类型种间竞争激烈,丙类型种内竞争激烈,乙类型有效地降低了种内竞争和种间竞争。

22.(18 分,除说明外,每空 2 分)

(1)行为性 老年人皮肤毛细血管弹性降低,皮肤血管收缩能力下降,因此散热量较大,体温下降较快。

(2)正反馈 免疫细胞产生的 EP 作用于体温调节中枢,最终使体温上升,进而促进免疫细胞的活动(或免疫细胞的增殖与分化)

(3)实验思路:在 N 点连一个电表,在 M 点给与适宜的电刺激,观察电表指针是否偏转;再在 M 点连一个电表,在 N 点给与适宜的电刺激,观察电表指针是否偏转 实验结果:刺激 M 点,电表的指针不变化;刺激 N 点,电表的指针偏转(4 分)

(4)延长(变长) 先兴奋后恢复(或先兴奋后正常)

【解析】(1)使用空调、增减衣物等属于行为性调节;老年人皮肤毛细血管弹性降低,皮肤血管收缩能力下降,因此散热量较大,体温下降较快。

(2)免疫细胞产生的 EP 作用于体温调节中枢,最终使体温上升,进而促进免疫细胞的活动(如免疫细胞的增殖与分化),属于正反馈调节。

(3)兴奋在突触间进行单向传递,据图可知,兴奋从 A 神经元传向 B 神经元,故刺激 M 点,电表的指针不变化;刺激 N 点,电表的指针偏转。

(4)神经元 C 为兴奋性神经元,在 A 处给一个适宜的刺激后,兴奋先沿着神经元 B 传递到①处,使 B 处兴奋;之后兴奋沿着神经元 C、B 传递到①处,兴奋时间延长。神经元 C 为抑制性神经元,在 A 处给一个适宜的刺激后,兴奋先沿着神经元 B 传递到①处,使 B 处兴奋;之后兴奋沿着神经元 C 传递到②处,使神经元 B 抑制,阻断了信号进一步传导。

关于我们

北京高考在线创办于 2014 年，隶属于北京太星网络科技有限公司，是北京地区极具影响力中学升学服务平台。主营业务涵盖：北京新高考、高中生涯规划、志愿填报、强基计划、综合评价招生和学科竞赛等。

北京高考在线旗下拥有网站门户、微信公众平台等全媒体矩阵生态平台。平台活跃用户 40W+，网站年度流量数千万量级。用户群体立足于北京，辐射全国 31 省市。

北京高考在线平台一直秉承 “ 精益求精、专业严谨 ” 的建设理念，不断探索 “K12 教育 + 互联网 + 大数据 ” 的运营模式，尝试基于大数据理论为广大中学和家长提供新鲜的高考资讯、专业的高考政策解读、科学的升学规划等，为广大高校、中学和教科研单位提供 “ 衔接和桥梁纽带 ” 作用。

平台自创办以来，为众多重点大学发现和推荐优秀生源，和北京近百所中学达成合作关系，累计举办线上线下升学公益讲座数百场，帮助数十万考生顺利通过考入理想大学，在家长、考生、中学和社会各界具有广泛的口碑影响力。

未来，北京高考在线平台将立足于北京新高考改革，基于对北京高考政策研究及北京高校资源优势，更好的服务全国高中家长和学生。

